

(19)日本国特許庁(JP)

**(12)特許公報(B2)**

(11)特許番号  
**特許第7233302号**  
**(P7233302)**

(45)発行日 令和5年3月6日(2023.3.6)

(24)登録日 令和5年2月24日(2023.2.24)

(51)国際特許分類

**G 0 1 B 11/00 (2006.01)**

F I

G 0 1 B

11/00

B

請求項の数 7 (全19頁)

(21)出願番号	特願2019-100619(P2019-100619)	(73)特許権者	000137694
(22)出願日	令和1年5月29日(2019.5.29)		株式会社ミツトヨ
(65)公開番号	特開2020-193910(P2020-193910)		神奈川県川崎市高津区坂戸一丁目20番
	A)		1号
(43)公開日	令和2年12月3日(2020.12.3)	(74)代理人	100166006
審査請求日	令和4年4月14日(2022.4.14)		弁理士 泉 通博
		(74)代理人	100154070
			弁理士 久恒 京範
		(74)代理人	100153280
			弁理士 寺川 賢祐
		(72)発明者	氏原 大希
			茨城県つくば市上横場430番地の1
		(72)発明者	株式会社ミツトヨ内
			鈴木 義将
			茨城県つくば市上横場430番地の1
			最終頁に続く

(54)【発明の名称】 測定装置および測定方法

**(57)【特許請求の範囲】****【請求項1】**

計測対象物までの距離を測定する測定装置であって、  
 レーザ共振器を有し、複数のモードの周波数変調レーザ光を出力するレーザ装置と、  
 前記レーザ装置が出力する前記周波数変調レーザ光の一部を参照光とし、残りの少なくとも一部を測定光として分岐する分岐部と、  
 前記測定光を計測対象物に照射して反射された反射光と、前記参照光とを混合して複数のビート信号を発生させるビート信号発生部と、

前記複数のビート信号を前記レーザ共振器の共振器周波数の4倍以上の周波数でサンプリングしてデジタル信号に変換する変換部と、

前記デジタル信号に基づき、前記測定装置から前記計測対象物までの距離を算出する算出部と

を備える、測定装置。

**【請求項2】**

前記変換部は、前記デジタル信号を周波数情報に変換する周波数変換部を有し、  
 前記算出部は、

前記周波数変換部が変換した周波数情報の周波数帯域を、予め定められた帯域幅の複数の帯域の周波数情報を分割する分割部と、

分割された複数の周波数情報を毎にビート信号の周波数位置を検出する検出部と、

検出した複数のビート信号の周波数位置に基づき、前記測定装置から前記計測対象物

までの距離を算出する距離算出部と  
を有する、請求項 1 に記載の測定装置。

**【請求項 3】**

前記距離算出部は、前記複数のビート信号の周波数位置に対応する前記測定装置から前記計測対象物までの距離をそれぞれ算出し、算出した複数の距離を平均化する、請求項 2 に記載の測定装置。

**【請求項 4】**

前記距離算出部は、前記複数のビート信号の対応する周波数位置を換算し、換算した周波数位置を平均化し、平均化した周波数位置に対応する前記測定装置から前記計測対象物までの距離を算出する、請求項 2 に記載の測定装置。

10

**【請求項 5】**

前記変換部は、前記デジタル信号を周波数情報に変換する周波数変換部を有し、  
前記算出部は、

前記周波数変換部が変換した周波数情報の周波数帯域を、予め定められた帯域幅の複数の帯域の周波数情報に分割する分割部と、

分割された複数の周波数情報を対応する 1 つの周波数帯域の周波数情報に変換してから、周波数毎に信号レベルを積算する積算部と、

積算された周波数情報におけるビート信号の周波数位置を検出する検出部と、

検出した前記ビート信号の周波数位置に基づき、前記測定装置から前記計測対象物までの距離を算出する距離算出部

20

を有する、請求項 1 に記載の測定装置。

**【請求項 6】**

前記分割部は、前記予め定められた帯域幅を前記共振器周波数以下の帯域幅とする、請求項 2 から 5 のいずれか一項に記載の測定装置。

**【請求項 7】**

計測対象物までの距離を測定する測定装置の測定方法であって、

レーザ共振器を有するレーザ装置から複数のモードの周波数変調レーザ光を出力するステップと、

前記周波数変調レーザ光の一部を参照光とし、残りの少なくとも一部を測定光として分岐するステップと、

前記測定光を計測対象物に照射して反射された反射光と、前記参照光とを混合して複数のビート信号を発生させるステップと、

30

前記複数のビート信号を前記レーザ共振器の共振器周波数の 4 倍以上の周波数でサンプリングしてデジタル信号に変換するステップと、

前記デジタル信号に基づき、前記測定装置から前記計測対象物までの距離を算出するステップと

を備える、測定方法。

**【発明の詳細な説明】**

**【技術分野】**

**【0001】**

40

本発明は、測定装置および測定方法に関する。

**【背景技術】**

**【0002】**

共振器内に周波数シフタが設けられ、時間の経過とともに発振周波数が線形に変化する複数の縦モードレーザを出力する周波数シフト帰還レーザ（F S F L : Frequency Shifted Feedback Laser）が知られている。また、このような周波数シフト帰還レーザを用いた光学式の距離計が知られている（例えば、特許文献 1 および非特許文献 1 を参照）。

**【先行技術文献】**

**【特許文献】**

**【0003】**

50

【文献】特許第3583906号明細書

【非特許文献】

【0004】

【文献】原武文，「FSLレーザによる距離センシングとその応用」，オプトニュース，Vol.7, No.3, 2012年, pp.25-31

【発明の概要】

【発明が解決しようとする課題】

【0005】

周波数シフト帰還レーザを用いた光学式距離計は、非接触で大量の三次元情報を取得可能であり、例えば、設計および生産現場等で用いられてきた。このような光学式距離計は、受光デバイスおよび測定回路等で電気的なノイズが発生して電気信号に重畠することがあり、測定精度が低減してしまうことがあった。このような測定精度の低下を防止すべく、従来、複数回の測定結果を平均化していたが、測定時間が増加してスループットが低下してしまうという問題が生じていた。

10

【0006】

そこで、本発明はこれらの点に鑑みてなされたものであり、簡便な構成で、光学式距離計の測定時間を短縮させつつ測定精度の低減を抑制できることを目的とする。

【課題を解決するための手段】

【0007】

本発明の第1の態様においては、計測対象物までの距離を測定する測定装置であって、レーザ共振器を有し、複数のモードの周波数変調レーザ光を出力するレーザ装置と、前記レーザ装置が出力する前記周波数変調レーザ光の一部を参照光とし、残りの少なくとも一部を測定光として分岐する分岐部と、前記測定光を計測対象物に照射して反射された反射光と、前記参照光とを混合して複数のビート信号を発生させるビート信号発生部と、前記複数のビート信号を前記レーザ共振器の共振器周波数の4倍以上の周波数でサンプリングしてデジタル信号に変換する変換部と、前記デジタル信号に基づき、前記測定装置から前記計測対象物までの距離を算出する算出部とを備える、測定装置を提供する。

20

【0008】

前記変換部は、前記デジタル信号を周波数情報に変換する周波数変換部を有し、前記算出部は、前記周波数変換部が変換した周波数情報の周波数帯域を、予め定められた帯域幅の複数の帯域の周波数情報に分割する分割部と、分割された複数の周波数情報毎にビート信号の周波数位置を検出する検出部と、検出した複数のビート信号の周波数位置に基づき、前記測定装置から前記計測対象物までの距離を算出する距離算出部とを有してもよい。

30

【0009】

前記距離算出部は、前記複数のビート信号の周波数位置に対応する前記測定装置から前記計測対象物までの距離をそれぞれ算出し、算出した複数の距離を平均化してもよい。

【0010】

前記距離算出部は、前記複数のビート信号の対応する周波数位置を換算し、換算した周波数位置を平均化し、平均化した周波数位置に対応する前記測定装置から前記計測対象物までの距離を算出してもよい。

40

【0011】

前記変換部は、前記デジタル信号を周波数情報に変換する周波数変換部を有し、前記算出部は、前記周波数変換部が変換した周波数情報の周波数帯域を、予め定められた帯域幅の複数の帯域の周波数情報に分割する分割部と、分割された複数の周波数情報を対応する1つの周波数帯域の周波数情報に変換してから、周波数毎に信号レベルを積算する積算部と、積算された周波数情報におけるビート信号の周波数位置を検出する検出部と、検出した前記ビート信号の周波数位置に基づき、前記測定装置から前記計測対象物までの距離を算出する距離算出部とを有してもよい。

【0012】

前記分割部は、前記予め定められた帯域幅を前記共振器周波数以下の帯域幅としてもよ

50

い。

#### 【0013】

本発明の第2の態様においては、計測対象物までの距離を測定する測定装置の測定方法であって、レーザ共振器を有するレーザ装置から複数のモードの周波数変調レーザ光を出力するステップと、前記周波数変調レーザ光の一部を参照光とし、残りの少なくとも一部を測定光として分岐するステップと、前記測定光を計測対象物に照射して反射された反射光と、前記参照光とを混合して複数のビート信号を発生させるステップと、前記複数のビート信号を前記レーザ共振器の共振器周波数の4倍以上の周波数でサンプリングしてデジタル信号に変換するステップと、前記デジタル信号に基づき、前記測定装置から前記計測対象物までの距離を算出するステップとを備える、測定方法を提供する。

10

#### 【発明の効果】

#### 【0014】

本発明によれば、簡便な構成で、光学式距離計の測定時間を短縮させつつ測定精度の低減を抑制できるという効果を奏する。

#### 【図面の簡単な説明】

#### 【0015】

【図1】本実施形態に係る測定装置100の構成例を計測対象物10と共に示す。

【図2】本実施形態に係るレーザ装置110の構成例を示す。

【図3】本実施形態に係るレーザ装置110が出力するレーザ光の一例を示す。

【図4】本実施形態に係る測定装置100が検出するビート信号の周波数と、光ヘッド部140および計測対象物10との間の距離dとの関係の一例を示す。

20

【図5】本実施形態に係るビート信号発生部150および変換部160の構成例を示す。

【図6】本実施形態に係るビート信号発生部150および変換部160の直交検波の概略の一例を示す。

【図7】本実施形態に係る変換部160が出力する周波数情報の一例を示す。

【図8】本実施形態に係る測定装置100に設けられている変換部160および算出部170の構成例を示す。

【図9】本実施形態に係る測定装置100に設けられている変換部160および算出部170の変形例を示す。

#### 【発明を実施するための形態】

30

#### 【0016】

#### 【測定装置100の構成例】

図1は、本実施形態に係る測定装置100の構成例を計測対象物10と共に示す図である。測定装置100は、当該測定装置100および計測対象物10との間の距離を光学的に測定する。また、測定装置100は、計測対象物10に照射するレーザ光の位置を走査して、計測対象物10の三次元的な形状を計測してもよい。測定装置100は、レーザ装置110と、分岐部120と、光サーチュレータ130と、光ヘッド部140と、ビート信号発生部150と、変換部160と、算出部170と、表示部180とを備える。

#### 【0017】

レーザ装置110は、レーザ共振器を有し、複数のモードの周波数変調レーザ光を出力する。レーザ装置110は、共振器内に周波数シフタが設けられ、時間の経過とともに発振周波数が線形に変化する複数の縦モードレーザを出力する。レーザ装置110は、一例として、周波数シフト帰還レーザである。周波数シフト帰還レーザについては後述する。

40

#### 【0018】

分岐部120は、レーザ装置が出力する周波数変調レーザ光の一部を参照光とし、残りの少なくとも一部を測定光として分岐する。分岐部120は、一例として、1入力2出力の光ファイバ型の光カプラである。図1の例において、分岐部120は、測定光を光サーチュレータ130に供給し、参照光をビート信号発生部150に供給する。

#### 【0019】

光サーチュレータ130は、複数の入出力ポートを有する。光サーチュレータ130は

50

、例えば、一のポートに入力した光を次のポートから出力させ、当該次のポートから入力する光を更に次のポートから出力させる。図1は、光サーチュレータ130が3つの入出力ポートを有する例を示す。この場合、光サーチュレータ130は、分岐部120から供給される測定光を光ヘッド部140に出力する。また、光サーチュレータ130は、光ヘッド部140から入力する光をビート信号発生部150へと出力する。

#### 【0020】

光ヘッド部140は、光サーチュレータ130から入力する光を計測対象物10に向けて照射する。光ヘッド部140は、一例として、コリメータレンズを有する。この場合、光ヘッド部140は、光ファイバを介して光サーチュレータ130から入力する光をコリメータレンズでビーム状に調節してから出力する。

10

#### 【0021】

また、光ヘッド部140は、計測対象物10に照射した測定光の反射光を受光する。光ヘッド部140は、受光した反射光をコリメータレンズで光ファイバに集光して光サーチュレータ130に供給する。この場合、光ヘッド部140は、共通の1つのコリメータレンズを有し、当該コリメータレンズが、測定光を計測対象物10に照射し、また、計測対象物10からの反射光を受光してよい。なお、光ヘッド部140および計測対象物10の間の距離をdとする。

#### 【0022】

これに代えて、光ヘッド部140は、集光レンズを有してもよい。この場合、光ヘッド部140は、光ファイバを介して光サーチュレータ130から入力する光を計測対象物10の表面に集光する。そして、光ヘッド部140は、計測対象物10の表面で反射した反射光の少なくとも一部を受光する。光ヘッド部140は、受光した反射光を集光レンズで光ファイバに集光して光サーチュレータ130に供給する。この場合においても、光ヘッド部140は、共通の1つの集光レンズを有し、当該集光レンズが、測定光を計測対象物10に照射し、また、計測対象物10からの反射光を受光してよい。

20

#### 【0023】

ビート信号発生部150は、測定光を計測対象物10に照射して反射された反射光を光サーチュレータ130から受けとる。また、ビート信号発生部150は、分岐部120から参照光を受けとる。ビート信号発生部150は、反射光および参照光を混合してビート信号を発生させる。ビート信号発生部150は、例えば、光電変換素子を有し、ビート信号を電気信号に変換して出力する。

30

#### 【0024】

ここで、反射光は、光ヘッド部140から計測対象物10までの距離を往復しているので、参照光と比較して少なくとも距離 $2d$ に応じた伝搬距離の差が生じることになる。レーザ装置110が出力する光は、時間の経過とともに発振周波数が線形に変化するので、参照光および反射光の発振周波数は、当該伝搬距離の差に対応する伝搬遅延に応じた周波数差が生じる。ビート信号発生部150は、このような周波数差に対応するビート信号を発生させる。

#### 【0025】

変換部160は、ビート信号発生部150が発生させたビート信号をデジタル信号に変換する。また、変換部160は、変換したデジタル信号を周波数変換して、当該ビート信号の周波数を検出する。ここで、ビート信号の周波数を $f_B$ とする。

40

#### 【0026】

算出部170は、変換部160の変換結果に基づき、参照光と測定光との伝搬距離の差を検出する。算出部170は、ビート信号の周波数 $f_B$ に基づき、光ヘッド部140から計測対象物10までの距離 $d$ を算出する。

#### 【0027】

表示部180は、算出部170の算出結果を表示する。表示部180は、ディスプレイ等を有し、算出結果を表示してよい。また、表示部180は、記憶部等に算出結果を記憶させてもよい。表示部180は、ネットワーク等を介して外部に算出結果を供給してもよ

50

い。

#### 【 0 0 2 8 】

以上の測定装置 100 は、計測対象物 10 に照射した測定光の反射光と、参照光との間の周波数差を解析することにより、測定装置 100 および計測対象物 10 の間の距離 d を測定可能とする。即ち、測定装置 100 は、非接触および非破壊の光学式距離計を構成できる。測定装置 100 のより詳細な構成について次に説明する。

#### 【 0 0 2 9 】

##### [ レーザ装置 110 の構成例 ]

図 2 は、本実施形態に係るレーザ装置 110 の構成例を示す。図 2 のレーザ装置 110 は、周波数シフト帰還レーザの一例を示す。レーザ装置 110 は、レーザ共振器を有し、当該レーザ共振器内でレーザ光を発振させる。レーザ装置 110 のレーザ共振器は、周波数シフタ 112 と、增幅媒体 114 と、WDM カプラ 116 と、ポンプ光源 117、出力カプラ 118 とを含むレーザ共振器を有する。

10

#### 【 0 0 3 0 】

周波数シフタ 112 は、入力する光の周波数を略一定の周波数だけシフトする。周波数シフタ 112 は、一例として、音響光学素子を有する A O F S ( Acousto-Optic Frequency Shifter ) である。ここで、周波数シフタ 112 による周波数シフト量を  $\Delta f$  とする。即ち、周波数シフタ 112 は、共振器を周回する光の周波数を、1 周回毎に  $\Delta f$  だけ周波数が増加するようにシフトさせる。

20

#### 【 0 0 3 1 】

增幅媒体 114 は、ポンプ光が供給され、入力光を増幅する。增幅媒体 114 は、一例として、不純物が添加された光ファイバである。不純物は、例えば、エルビウム、ネオジウム、イッテルビウム、テルビウム、ツリウム等の希土類元素である。また、增幅媒体 114 は、WDM カプラ 116 を介してポンプ光源 117 からポンプ光が供給される。出力カプラ 118 は、共振器内でレーザ発振した光の一部を外部に出力する。

30

#### 【 0 0 3 2 】

即ち、図 2 に示すレーザ装置 110 は、共振器内に周波数シフタ 112 を有するファイバリングレーザを構成する。レーザ装置 110 は、共振器内にアイソレータを更に有することが望ましい。また、レーザ装置 110 は、予め定められた波長帯域の光を通過させる光バンドパスフィルタを共振器内に有してもよい。このようなレーザ装置 110 が出力するレーザ光の周波数特性について次に説明する。

30

#### 【 0 0 3 3 】

図 3 は、本実施形態に係るレーザ装置 110 が出力するレーザ光の一例を示す。図 3 は、時刻  $t_0$  においてレーザ装置 110 が出力するレーザ光の光スペクトルを左側に示す。当該光スペクトルにおいては、横軸が光強度、縦軸が光の周波数を示す。また、光スペクトルの複数の縦モードを番号  $q$  で示す。複数の縦モードの周波数は、略一定の周波数間隔で並ぶ。ここで、光が共振器を 1 周する時間を  $T_R$  ( $= 1 / \Delta f$ ) とすると、複数の縦モードは、次式のように  $1 / T_R$  ( $= \Delta f$ ) 間隔で並ぶことになる。なお、 $t_0$  は、時刻  $t_0$  における光スペクトルの初期周波数とする。また、 $\Delta f$  は、レーザ共振器の共振周波数  $f_c$  である。

40

#### 【 数 1 】

$$f_q(t_0) = f_0 + \frac{q}{T_R}$$

#### 【 0 0 3 4 】

図 3 は、レーザ装置 110 が出力する複数の縦モードの時間経過とともに周波数の変化を右側に示す。図 3 の右側においては、横軸が時間、縦軸が周波数を示す。即ち、図 3 は、レーザ装置 110 が出力するレーザ光の周波数の時間的な変化を右側に示し、当該レ

50

レーザ光の時刻  $t_0$  における瞬時周波数を左側に示したものである。

【0035】

レーザ装置 110 は、共振器内の光が共振器を 1 周する毎に、周波数シフタ 112 が周回する光の周波数を  $\nu_s$  だけ増加させる。即ち、時間が  $\tau_{RT}$  経過する毎に、各モードの周波数は  $\nu_s$  だけ増加するので、周波数の時間変化  $d\nu_s/dt$  は、 $\nu_s/\tau_{RT}$  と略等しくなる。したがって、(数 1) 式で示した複数の縦モードは、時間  $t$  の経過に伴って、次式のように変化する。

【数 2】

$$\nu_q(t) = \nu_0 + \frac{\nu_s}{\tau_{RT}} t + \frac{q}{\tau_{RT}}$$

10

【0036】

[距離測定処理の詳細]

本実施形態に係る測定装置 100 は、(数 2) 式で示すような周波数成分を出力するレーザ装置 110 を用いて、光ヘッド部 140 および計測対象物 10 の間の距離  $d$  を測定する。ここで、参照光および反射光の間の光路差が、距離  $d$  を往復した距離  $2d$  だけであり、距離  $2d$  に対応する伝搬遅延を  $\Delta t$  とする。即ち、時刻  $t$  において、測定光が計測対象物 10 から反射して戻ってきた場合、戻ってきた反射光は、時刻  $t$  よりも時間  $\Delta t$  だけ過去の周波数と略一致するので、次式で示すことができる。

20

【数 3】

$$\nu_q(t - \Delta t) = \nu_0 + \frac{\nu_s}{\tau_{RT}} (t - \Delta t) + \frac{q}{\tau_{RT}}$$

【0037】

一方、時刻  $t$  における参照光は、(数 2) 式と同様に次式で示すことができる。ここで、参照光を  $\nu_{q'}(t)$  とした。

30

【数 4】

$$\nu_{q'}(t) = \nu_0 + \frac{\nu_s}{\tau_{RT}} t + \frac{q'}{\tau_{RT}}$$

【0038】

ビート信号発生部 150 は、このような反射光および参照光を重畠させてるので、(数 3) 式の複数の縦モードと(数 4) 式で示す複数の縦モードとの間の複数のビート信号が発生することになる。このようなビート信号の周波数を  $\nu_B(m, d)$  とすると、 $\nu_B(m, d)$  は、(数 3) 式および(数 4) 式より次式で示すことができる。なお、 $m$  を縦モード番号の間隔 ( $= q - q'$ ) とし、 $\Delta t = 2d/c$  とした。

40

【数 5】

$$\nu_B(m, d) = \nu_{q'}(t) - \nu_q(t - \Delta t) = \frac{\nu_s}{\tau_{RT}} \cdot \frac{2d}{c} - \frac{m}{\tau_{RT}}$$

50

**【 0 0 3 9 】**

(数5)式より、距離dは、次式のように示される。ここで、 $1 / R T = c$ とした。

**【数6】**

$$d = \frac{c}{2v_s v_c} \{v_B(m, d) + m v_c\}$$

**【 0 0 4 0 】**

(数6)式より、縦モード番号の間隔mを判別すれば、ビート信号の周波数観測結果から距離dを算出できることがわかる。なお、間隔mは、レーザ装置110の周波数シフト量 $\omega_s$ を変化させた場合のビート信号の変化を検出すことで、判別することができる。このような間隔mの判別方法は、特許文献1等に記載されているように既知であるから、ここでは詳細な説明を省略する。

10

**【 0 0 4 1 】**

観測されるビート信号は常に正の周波数であるから、計算上、負の周波数側に発生するビート信号は、正側に折り返され、イメージ信号として観測される。このようなイメージ信号の発生について、次に説明する。

**【 0 0 4 2 】**

図4は、本実施形態に係る測定装置100が検出するビート信号の周波数と、光ヘッド部140および計測対象物10の間の距離dとの関係の一例を示す。図4の横軸は距離dを示し、縦軸はビート信号の周波数 $v_B(m, d)$ を示す。図4の実線で示す複数の直線は、(数5)式に示したように、距離dに対するビート信号の周波数 $v_B(m, d)$ の関係を、複数のm毎に示したグラフである。

20

**【 0 0 4 3 】**

図4のように、mの値に応じた複数のビート信号が発生する。しかしながら、反射光および参照光のそれぞれに含まれる複数の縦モードは、略一定の周波数間隔 $c$ で並ぶので、mの値が等しい複数のビート信号は周波数軸上では略同一の周波数に重畠されることになる。例えば、周波数0から $c$ の間の周波数帯域を観測した場合、複数のビート信号は略同一の周波数に重畠されて、1本の線スペクトルとして観測される。

30

**【 0 0 4 4 】**

これに加えて、0よりも小さい負の領域のビート信号の周波数 $v_B(m, d)$ は、周波数の絶対値がイメージ信号として更に観測される。即ち、図4の縦軸が0よりも小さい領域のグラフは、周波数0を境界として折り返される。図4は、折り返されたイメージ信号を、複数の点線で示す。折り返された複数のイメージ信号は、正負が反転するだけなので、観測される周波数軸上では折り返される前の周波数の絶対値と同一の周波数に重畠される。例えば、周波数0から $c$ の間の周波数帯域を観測した場合、このようなビート信号およびイメージ信号は、周波数がそれぞれ $c/2$ にならない限り、それぞれ異なる周波数に位置する。

**【 0 0 4 5 】**

このように、周波数0から $c$ の間の観測帯域においては、ビート信号 $v_B(m, d)$ と、ビート信号 $v_B(m', d)$ とはmの値が異なるイメージ信号 $v_B(m', d)$ の2本の線スペクトルが発生する。ここで、一例として、 $m' = m + 1$ である。この場合、ビート信号発生部150が直交検波を用いることで、このようなイメージ信号をキャンセルできる。そこで直交検波を用いたビート信号発生部150および変換部160について、次に説明する。

40

**【 0 0 4 6 】**

図5は、本実施形態に係るビート信号発生部150および変換部160の構成例を示す。ビート信号発生部150は、反射光および参照光を直交検波する。ビート信号発生部150は、光90度ハイブリッド152と、第1光電変換部154と、第2光電変換部15

50

6とを有する。

#### 【0047】

光90度ハイブリッド152は、入力する反射光および参照光をそれぞれ2つに分岐する。光90度ハイブリッド152は、分岐した一方の反射光と、分岐した一方の参照光とを光カプラ等で合波して第1ビート信号を発生させる。また、光90度ハイブリッド152は、分岐した他方の反射光と、分岐した他方の参照光とを光カプラ等で合波して第2ビート信号を発生させる。ここで、光90度ハイブリッド152は、分岐した2つの参照光の間に90度の位相差を生じさせてから、ビート信号を発生させる。光90度ハイブリッド152は、例えば、分岐した2つの参照光のうちいずれか一方に、 $\lambda/2$ 波長板を介してから反射光とそれぞれ合波させる。

10

#### 【0048】

第1光電変換部154および第2光電変換部156は、合波した反射光および参照光を受光して電気信号に変換する。第1光電変換部154および第2光電変換部156のそれぞれは、フォトダイオード等でよい。第1光電変換部154および第2光電変換部156のそれぞれは、一例として、バランス型フォトダイオードである。図5において、第1光電変換部154が第1ビート信号を発生させ、第2光電変換部156が第2ビート信号を発生せるものとする。以上のように、ビート信号発生部150は、位相を90度異ならせた2つの参照光と反射光とをそれぞれ合波させて直交検波し、2つのビート信号を変換部160に出力する。

20

#### 【0049】

変換部160は、2つのビート信号を周波数解析する。ここでは、変換部160が、第1ビート信号をI信号とし、第2ビート信号をQ信号として周波数解析する例を説明する。変換部160は、第1フィルタ部162、第2フィルタ部164、第1A/D変換器202、第2A/D変換器204、クロック信号供給部210、および周波数解析部220を有する。

#### 【0050】

第1フィルタ部162および第2フィルタ部164は、ユーザ等が周波数解析したい周波数帯域とは異なる周波数帯域の信号成分を低減させる。ここで、ユーザ等が周波数解析したい周波数帯域を0から $c$ とする。第1フィルタ部162および第2フィルタ部164は、例えば、周波数 $c$ 以下の信号成分を通過させるローパスフィルタである。この場合、第1フィルタ部162は、周波数 $c$ よりも高い周波数の信号成分を低減させた第1ビート信号を第1A/D変換器202に供給する。また、第2フィルタ部164は、周波数 $c$ よりも高い周波数の信号成分を低減させた第2ビート信号を第2A/D変換器204に供給する。

30

#### 【0051】

第1A/D変換器202および第2A/D変換器204は、入力するアナログ信号をデジタル信号に変換する。例えば、第1A/D変換器202は第1ビート信号をデジタル信号に変換し、第2A/D変換器204は第2ビート信号をデジタル信号に変換する。クロック信号供給部210は、第1A/D変換器202および第2A/D変換器204にクロック信号を供給する。これにより、第1A/D変換器202および第2A/D変換器204は、受け取ったクロック周波数と略同一のサンプリングレートでアナログ信号をデジタル信号に変換する。

40

#### 【0052】

ここで、観測帯域を0から $c$ とすると、ビート信号の周波数は、最大でもレーザ共振器の共振器周波数 $c$ である。したがって、クロック信号供給部210が、レーザ共振器の共振器周波数 $c$ の2倍以上の周波数のクロック信号を、第1A/D変換器202および第2A/D変換器204に供給することで、ビート信号を観測することができる。

#### 【0053】

周波数解析部220は、第1ビート信号および第2ビート信号を周波数データに変換する。周波数解析部220は、一例として、第1ビート信号および第2ビート信号をそれぞれデジタルフーリエ変換(DFT)する。周波数解析部220は、周波数データに変換し

50

た第1ビート信号を実部、周波数データに変換した第2ビート信号を虚部として加算し、イメージ信号を相殺する。なお、変換部160は、ビート信号がデジタル信号に変換された後は、集積回路等で周波数解析部220を構成してよい。以上のビート信号発生部150における直交検波と変換部160における周波数解析について、次に述べる。

#### 【0054】

図6は、本実施形態に係るビート信号発生部150および変換部160の直交検波の概略の一例を示す。図6の横軸はビート信号の周波数、縦軸は信号強度を示す。図6は、I信号およびQ信号のいずれか一方の周波数スペクトルを示す。I信号およびQ信号のいずれの周波数スペクトルも、図6の上側に示すように、略同一のスペクトル形状となる。I信号およびQ信号は、例えば、周波数0から $c$ の間の周波数帯域に、ビート信号 $B(m, d)$ およびイメージ信号 $B(m+1, d)$ が観測される。この場合、I信号およびQ信号は、負側の周波数0から $-c$ の間の周波数帯域に、ビート信号 $-B(m, d)$ およびイメージ信号の元のビート信号 $-B(m+1, d)$ が存在する。

10

#### 【0055】

ここで、I信号およびQ信号は、ビート信号発生部150が直交検波した信号成分なので、スペクトル形状が同一であっても、異なる位相情報を含む。例えば、正側の周波数0から $c$ の間の周波数帯域において、I信号のイメージ信号 $B(m+1, d)$ とQ信号のイメージ信号 $B(m+1, d)$ とは、互いに位相が反転する。同様に、負側の周波数0から $-c$ の間の周波数帯域において、I信号のビート信号 $-B(m, d)$ とQ信号のビート信号 $-B(m, d)$ とは、互いに位相が反転する。

20

#### 【0056】

したがって、図6の下側に示すように、周波数解析部220がI信号およびQ信号を用いて $I + j Q$ を算出すると、周波数0から $c$ の間の周波数帯域において、周波数 $B(m, d)$ のビート信号が強め合い、周波数 $B(m+1, d)$ のイメージ信号が相殺される。同様に、周波数0から $-c$ の間の周波数帯域において、周波数 $-B(m+1, d)$ のビート信号が強め合い、周波数 $-B(m, d)$ のビート信号が相殺される。

20

#### 【0057】

このような周波数解析部220の周波数解析結果により、周波数0から $c$ の間の周波数帯域には1つのビート信号が周波数 $B(m, d)$ に観測されることになる。測定装置100は、このようにして、イメージ信号をキャンセルできるので、ビート信号の周波数 $B(m, d)$ の周波数を検出することができる。例えば、周波数解析部220は、変換した周波数信号の信号強度が最も高くなる周波数をビート信号の周波数 $B(m, d)$ として出力する。

30

#### 【0058】

ここで、測定装置100が測定する距離dは、(数6)式で示されている。(数6)式より、 $c$ 、 $s$ 、および $B(m, d)$ の3つの周波数を用いることで、距離dが算出できることがわかる。3つの周波数のうち、 $B(m, d)$ は、以上のように、検出できることがわかる。また、 $c$ および $s$ は、レーザ装置110の部材によって定まる周波数なので、固定値として取り扱うことができる。したがって、算出部170は、変換部160が検出したビート信号の周波数 $B(m, d)$ と、予め定められた $c$ および $s$ を用いて、距離dを算出する。

40

#### 【0059】

以上のように、測定装置100は、計測対象物10までの距離dを測定することができる。このような測定装置100は、第1光電変換部154および第2光電変換部156といった受光デバイス、ビート信号発生部150および変換部160といった測定回路等で電気的なノイズが重畠されることがあり、測定精度が低減してしまうことがあった。このような測定精度の低下を防止すべく、複数回の測定結果を平均化することが考えられるが、この場合、測定時間が増加してスループットが低下してしまうことがあった。

#### 【0060】

[複数のビート信号]

50

そこで、本実施形態に係る測定装置 100 は、ビート信号の観測帯域を拡大して、異なる複数の帯域に発生する複数のビート信号を測定する。図 4 に示すように、ビート信号発生部 150 は、反射光および参照光を混合して異なる複数のモード番号 m の複数のビート信号  $B(m, d)$  を発生させる。したがって、変換部 160 のビート信号  $B(m, d)$  の観測帯域を拡大すると、異なる周波数に発生する複数のビート信号  $B(m, d)$  を観測できる。

#### 【0061】

図 7 は、本実施形態に係る変換部 160 が output する周波数情報の一例を示す。図 7 の横軸は周波数を示し、縦軸は信号レベルを示す。図 7 は、直交検波により、複数のイメージ信号がキャンセルされた後の複数のビート信号を示す。複数のビート信号は、帯域幅が共振器周波数  $c$  に略一致する複数の帯域のそれぞれに、1つずつ観測される。ここで、複数の帯域を周波数の小さい順に、第 1 帯域、第 2 帯域、・・・、第 k 帯域とし、第 1 帯域のビート信号の周波数を  $B_1$ 、第 2 帯域のビート信号の周波数を  $B_2$ 、第 k 帯域のビート信号の周波数を  $B_k$  とする。

10

#### 【0062】

測定装置 100 が 1 番目から k 番目までの k 個のビート信号を観測する場合、観測帯域は  $k \times c$  となる。この場合、クロック信号供給部 210 は、 $2k \times c$  以上の周波数のクロック信号を、第 1 A/D 変換器 202 および第 2 A/D 変換器 204 に供給すればよい。測定装置 100 が 2 以上のビート信号を観測するためには、少なくともクロック信号は共振器周波数  $c$  の 4 倍以上の周波数が必要となることがわかる。

20

#### 【0063】

図 3 および図 4 で示すように、複数のビート信号は、それぞれの帯域の対応する周波数位置に発生する。例えば、測定装置 100 および計測対象物 10 の間の距離 d が一定で、電気信号に重畠するノイズが無視できるほど小さい理想的な状態の場合、k 番目のビート信号の周波数  $B_k$  は、 $(k - 1) \times c$  だけ差し引くと、1 番目のビート信号の周波数  $B_1$  に略一致する。このように、複数のビート信号は、理想的には略一定の周波数  $c$  の間隔毎に発生する。

#### 【0064】

そこで、測定装置 100 は、複数のビート信号を対応する周波数間隔だけ周波数シフトさせて、同一の周波数帯域の信号成分にしてから平均化することで、ノイズの影響を低減させる。このような測定装置 100 について、次に説明する。

30

#### 【0065】

##### [変換部 160 および算出部 170 の構成例]

図 8 は、本実施形態に係る測定装置 100 に設けられている変換部 160 および算出部 170 の構成例を示す。図 8 に示す変換部 160 は、図 5 で説明した変換部 160 と同様の構成なので、動作が略同一のものには同一の符号を付け、説明を省略する。図 8 に示す変換部 160 および算出部 170 は、測定装置 100 が  $2 \times c$  以上の観測帯域を有するように構成されている。

#### 【0066】

変換部 160 は、複数のビート信号をレーザ共振器の共振器周波数の 4 倍以上の周波数でサンプリングしてデジタル信号に変換する。即ち、クロック信号供給部 210 は、レーザ共振器の共振器周波数  $c$  の 4 倍以上の周波数のクロック信号を、第 1 A/D 変換器 202 および第 2 A/D 変換器 204 に供給する。第 1 A/D 変換器 202 および第 2 A/D 変換器 204 は、アナログ信号を複数のビート信号と複数のイメージ信号を含むデジタル信号の I 信号および Q 信号にそれぞれ変換する。

40

#### 【0067】

なお、第 1 フィルタ部 162 および第 2 フィルタ部 164 は、共振器周波数  $c$  の 2 倍以上の周波数帯域の信号成分を通過させる。例えば、クロック信号供給部 210 は、 $2k \times c$  以上の周波数のクロック信号を出力し、第 1 フィルタ部 162 および第 2 フィルタ部 164 は、0 から  $k \times c$  までの周波数帯域の信号成分を通過させる。

50

**【 0 0 6 8 】**

変換部 160 は、周波数変換部 310 を有する。周波数変換部 310 は、デジタル信号の I 信号および Q 信号を周波数情報に変換する。周波数変換部 310 は、例えば、デジタルフーリエ変換等を用いて、デジタル信号を周波数情報に変換する。周波数変換部 310 は、変換された I 信号および Q 信号を用いて  $I + jQ$  を算出し、複数のイメージ信号を相殺した算出結果を出力する。

**【 0 0 6 9 】**

算出部 170 は、周波数変換部 310 が変換したデジタル信号の周波数データに基づき、測定装置 100 から計測対象物 10までの距離  $d$  を算出する。算出部 170 は、分割部 172 と、検出部 174 と、距離算出部 176 とを有する。

10

**【 0 0 7 0 】**

分割部 172 は、周波数変換部 310 が変換した周波数情報の周波数帯域を、予め定められた帯域幅の複数の帯域の周波数情報に分割する。分割部 172 は、予め定められた帯域幅を共振器周波数  $c$  以下の帯域幅とする。分割部 172 は、一例として、図 8 の例に示すように、共振器周波数  $c$  に略一致する帯域幅で周波数情報を分割する。例えば、クロック信号供給部 210 が出力するクロック信号の周波数を  $2f_c$  とすると、分割部 172 は、 $f_c / c$  以下で最大となる整数  $k$  だけ、周波数情報を分割する。

**【 0 0 7 1 】**

検出部 174 は、分割された複数の周波数情報毎にビート信号の周波数位置を検出する。検出部 174 は、例えば、各帯域において信号レベルが最大となる周波数位置を検出して、複数のビート信号の周波数  $B_1, B_2, \dots, B_k$  とする。

20

**【 0 0 7 2 】**

距離算出部 176 は、検出した複数のビート信号の周波数位置に基づき、測定装置 100 から計測対象物 10までの距離  $d$  を算出する。例えば、距離算出部 176 は、複数のビート信号の周波数位置に対応する測定装置 100 から計測対象物 10までの距離  $d$  をそれぞれ算出する。

**【 0 0 7 3 】**

この場合、距離算出部 176 は、周波数  $B_1$  に対応する測定装置 100 から計測対象物 10までの距離  $d_1$  を算出する。また、距離算出部 176 は、周波数  $B_2$  から  $c$  を差し引いた周波数 ( $B_2 - c$ ) に対応する距離  $d_2$  を算出する。同様に、距離算出部 176 は、周波数  $B_k$  から  $(k - 1) \times c$  を差し引いた周波数 [ $B_k - (k - 1) \times c$ ] に対応する距離  $d_k$  を算出する。

30

**【 0 0 7 4 】**

そして、距離算出部 176 は、算出した複数の距離を平均化する。距離算出部 176 は、例えば、距離  $d_1, d_2, \dots, d_k$  を平均化した値を距離  $d$  として出力する。これにより、測定装置 100 は、受光デバイスおよび測定回路等で発生した電気的なノイズが電気信号に重畠しても、複数の距離  $d$  の測定結果を平均化するので、当該ノイズの影響を低減できる。

**【 0 0 7 5 】**

また、測定装置 100 は、測定帯域を拡大して複数のビート信号を検出するので、測定光の測定回数よりも大きい数の距離  $d$  の算出結果を取得することができる。例えば、測定装置 100 は、1 回のビート信号の検出結果から、予め定められた数の距離  $d$  の測定結果の平均値を算出できる。したがって、測定装置 100 は、測定精度を向上させつつ、測定時間を短縮させてスループットを向上させることができる。

40

**【 0 0 7 6 】**

以上の本実施形態に係る測定装置 100 において、算出部 170 が複数の距離  $d$  の算出結果を平均化する例を説明したが、これに限定されることはない。測定装置 100 は、ビート信号の対応する周波数を平均化してから距離  $d$  を算出してもよい。

**【 0 0 7 7 】**

この場合、距離算出部 176 は、検出部 174 が検出した複数のビート信号の対応する

50

周波数位置を換算する。距離算出部 176 は、例えば、複数のビート信号の周波数  $B_1$ 、 $B_2$ 、 $\dots$ 、 $B_k$  を用いて、周波数 0 から  $c$  の間の観測帯域における対応する周波数位置  $B_1$ 、 $(B_2 - c)$ 、 $\dots$ 、 $[B_k - (k - 1) \times c]$  を換算する。

#### 【0078】

そして、距離算出部 176 は、換算した周波数位置を平均化し、平均化した周波数位置に対応する測定装置 100 から計測対象物 10 までの距離  $d$  を算出する。このような場合においても、測定装置 100 は、受光デバイスおよび測定回路等で発生した電気的なノイズが電気信号に重畠しても、異なるビート信号の検出結果を平均化するので、当該ノイズの影響を低減させることができる。

#### 【0079】

以上の本実施形態に係る測定装置 100 において、算出部 170 が距離  $d$  の算出結果またはビート信号の検出結果を平均化する例を説明したが、これに限定されることはない。測定装置 100 は、ビート信号の帯域毎のスペクトルを重畠し、重畠したスペクトルに基づき、距離  $d$  を算出してもよい。このような測定装置 100 について、次に説明する。

#### 【0080】

##### 〔変換部 160 および算出部 170 の変形例〕

図 9 は、本実施形態に係る測定装置 100 に設けられている変換部 160 および算出部 170 の変形例を示す。図 9 に示す変換部 160 および算出部 170 は、図 7 で説明した変換部 160 および算出部 170 と同様の構成なので、動作が略同一のものには同一の符号を付け、説明を省略する。変形例の算出部 170 は、分割部 172 と、積算部 178 と、検出部 174 と、距離算出部 176 とを有する。

#### 【0081】

分割部 172 は、周波数変換部 310 が変換した周波数情報の周波数帯域を、予め定められた帯域幅の複数の帯域の周波数情報に分割する。分割部 172 は、例えば、図 7 に示すように、周波数情報を第 1 帯域、第 2 帯域、 $\dots$ 、第  $k$  帯域といった  $k$  個の帯域に分割する。

#### 【0082】

積算部 178 は、分割された複数の周波数情報を対応する 1 つの周波数帯域の周波数情報に変換する。積算部 178 は、例えば、第 1 帯域を対応する周波数帯域として、分割した複数の周波数情報を変換する。この場合、積算部 178 は、第 2 帯域の周波数を  $c$  だけ差し引いて、低周波数方向にシフトする。また、積算部 178 は、第 3 帯域の周波数を  $2 \times c$  だけ差し引いて、低周波数方向にシフトする。このように、積算部 178 は、 $k$  番目の第  $k$  帯域の周波数を  $(k - 1) \times c$  だけ差し引いて、 $k - 1$  個の周波数情報を低周波数方向にそれぞれシフトする。このように、積算部 178 は、 $k$  個の周波数情報を第 1 帯域の情報を変換する。

#### 【0083】

そして、積算部 178 は、分割した複数の周波数情報の信号レベルを周波数毎に積算する。これにより、複数のビート信号が積算されるので、理想的には略同一の周波数位置の信号レベルが最も大きい値となる。また、ノイズ等が発生した場合、このようなビート信号にランダムなノイズレベルが重畠される。積算する帯域の数  $k$  が増加することにより、このようなノイズ成分は平滑化されて略一定の値となるので、ノイズによるビート信号のピーク周波数の変動が抑制されることになる。

#### 【0084】

検出部 174 は、積算された周波数情報におけるビート信号の周波数位置を検出する。検出部 174 は、例えば、第 1 帯域において信号レベルが最大となる周波数位置を検出して、ビート信号の周波数  $B$  とする。

#### 【0085】

距離算出部 176 は、検出したビート信号の周波数位置  $B$  に基づき、測定装置 100 から計測対象物 10 までの距離  $d$  を算出する。以上のように、測定装置 100 は、複数の帯域におけるビート信号の観測結果を積算して、重畠するノイズ成分を平均化させること

10

20

30

40

50

ができるので、ノイズの影響を低減させることができる。また、本例の測定装置 100 も、測定時間を短縮させてスループットを向上できる。

#### 【0086】

以上の本実施形態に係る測定装置 100 は、観測した複数のビート信号に基づく信号成分を平均化または重畠することで、ノイズの影響を低減させる例を説明したが、これに限定することはない。測定装置 100 は、図 1 で説明したように、平均化処理しない動作と、平均化処理する動作とを切り換え可能に構成されていてもよい。

#### 【0087】

この場合、例えば、クロック信号供給部 210 は、ユーザの入力等に応じて、供給するクロック信号の周波数を切り換え可能に設けられる。また、変換部 160 は、周波数解析部 220 と周波数変換部 310 とを切り換え可能に設けられる。これに代えて、周波数解析部 220 が、ユーザの入力等に応じて、周波数解析の動作と周波数変換の動作とを切り換えるてもよい。同様に、算出部 170 は、ユーザの入力等に応じて、平均化処理しない動作と平均化処理の動作とを切り換える。

10

#### 【0088】

これにより、測定装置 100 は、ユーザ等に要求される測定精度に応じて処理を切り換えることができるので、適切な処理時間で測定結果を出力することができる。また、測定装置 100 は、更に、ユーザの要求等に応じて、観測帯域を切り換え可能に構成されてもよい。この場合、測定装置 100 は、平均化するためのビート信号の数 k を可変にすることができる、要求される測定精度に応じて処理をより細かく設定できる。

20

#### 【0089】

なお、以上の本実施形態に係る測定装置 100 に設けられている変換部 160 および算出部 170 の少なくとも一部は、集積回路等で構成されていることが望ましい。変換部 160 および算出部 170 の少なくとも一部は、例えば、FPGA (Field Programmable Gate Array)、DSP (Digital Signal Processor)、および / または CPU (Central Processing Unit) を含む。

#### 【0090】

変換部 160 および算出部 170 の少なくとも一部をコンピュータ等で構成する場合、これらの部位は、記憶部および制御部を含む。記憶部は、一例として、変換部 160 および算出部 170 を実現するコンピュータ等の BIOS (Basic Input Output System) 等を格納する ROM (Read Only Memory)、および作業領域となる RAM (Random Access Memory) を含む。また、記憶部は、OS (Operating System)、プログラム、アプリケーション、および / または種々の情報等を格納してよい。記憶部は、HDD (Hard Disk Drive) および / または SSD (Solid State Drive) 等の大容量記憶装置を含んでよい。

30

#### 【0091】

制御部は、CPU 等のプロセッサであり、記憶部に記憶されたプログラムを実行することによって変換部 160 および算出部 170 の少なくとも一部として機能する。制御部は、GPU (Graphics Processing Unit) 等を含んでもよい。

#### 【0092】

以上、本発明を実施の形態を用いて説明したが、本発明の技術的範囲は上記実施の形態に記載の範囲には限定されず、その要旨の範囲内で種々の変形及び変更が可能である。例えば、装置の全部又は一部は、任意の単位で機能的又は物理的に分散・統合して構成することができる。また、複数の実施の形態の任意の組み合わせによって生じる新たな実施の形態も、本発明の実施の形態に含まれる。組み合わせによって生じる新たな実施の形態の効果は、もとの実施の形態の効果を併せ持つ。

40

#### 【符号の説明】

#### 【0093】

10 計測対象物

100 測定装置

50

1 1 0	レーザ装置	
1 1 2	周波数シフタ	
1 1 4	增幅媒体	
1 1 6	W D M カプラ	
1 1 7	ポンプ光源	
1 1 8	出力カプラ	
1 2 0	分岐部	
1 3 0	光サーキュレータ	
1 4 0	光ヘッド部	
1 5 0	ビート信号発生部	10
1 5 2	光90度ハイブリッド	
1 5 4	第1光電変換部	
1 5 6	第2光電変換部	
1 6 0	変換部	
1 6 2	第1フィルタ部	
1 6 4	第2フィルタ部	
1 7 0	算出部	
1 7 2	分割部	
1 7 4	検出部	
1 7 6	距離算出部	20
1 7 8	積算部	
1 8 0	表示部	
2 0 2	第1A D変換器	
2 0 4	第2A D変換器	
2 1 0	クロック信号供給部	
2 2 0	周波数解析部	
3 1 0	周波数変換部	

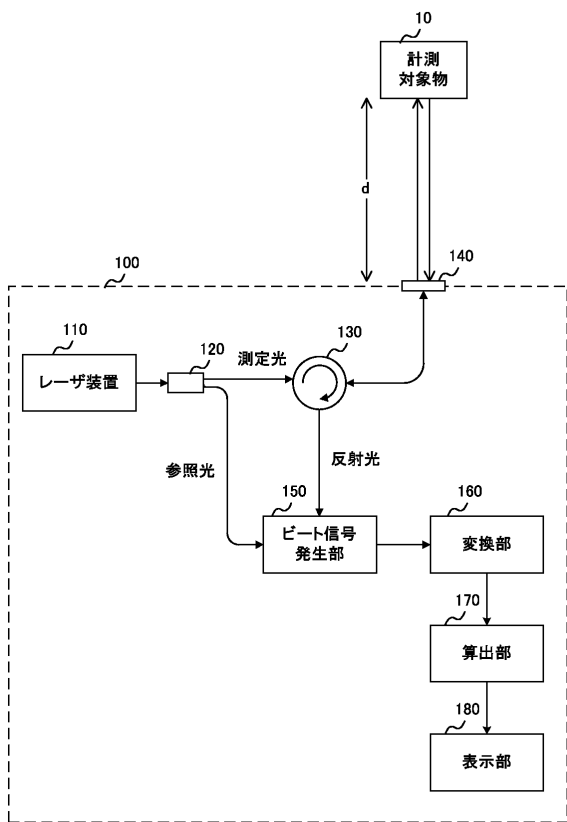
30

40

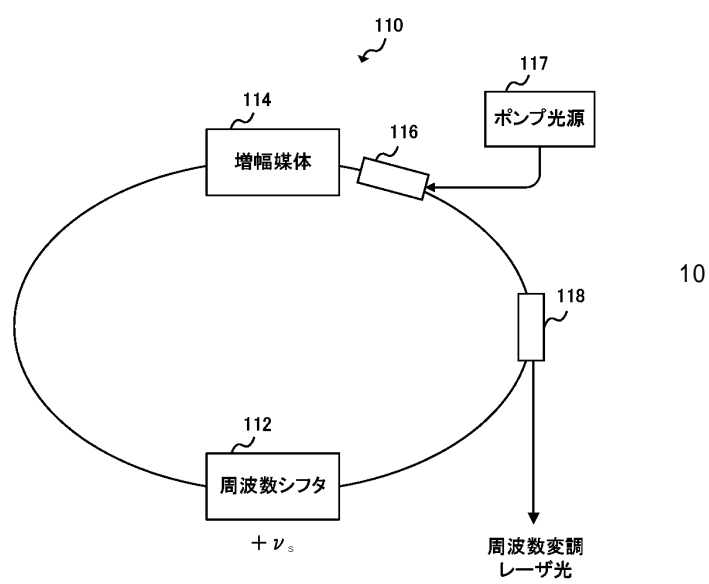
50

【図面】

【図 1】



【図 2】



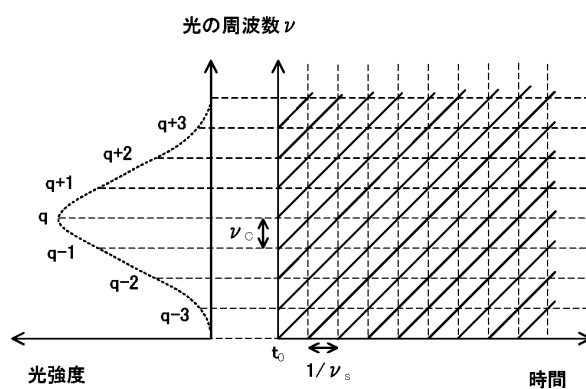
10

20

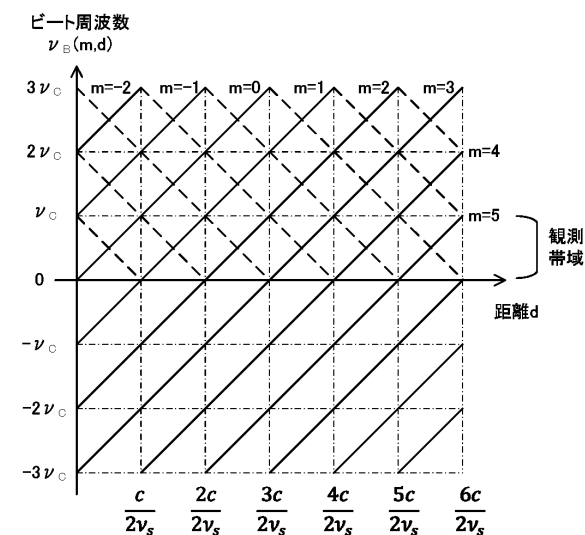
30

40

【図 3】

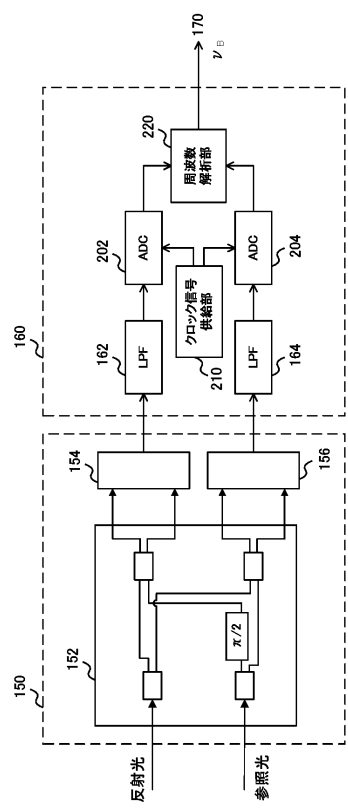


【図 4】

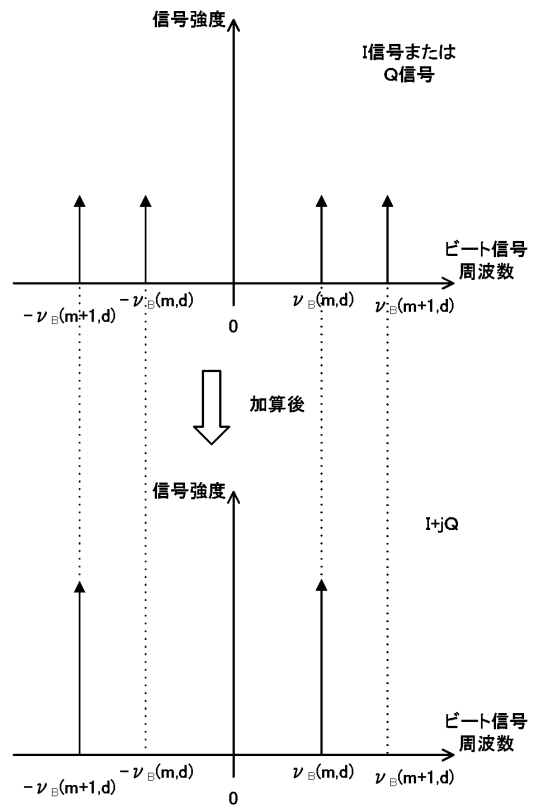


50

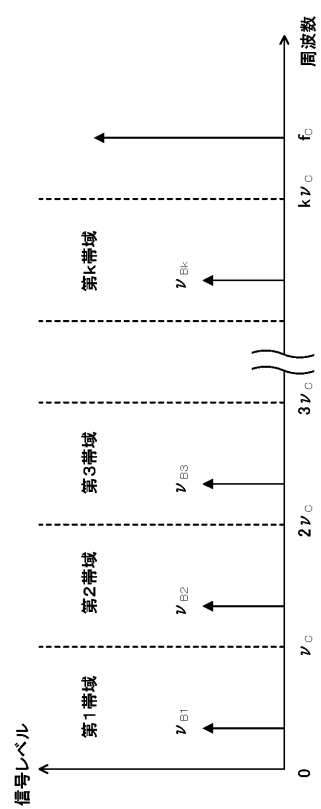
【図 5】



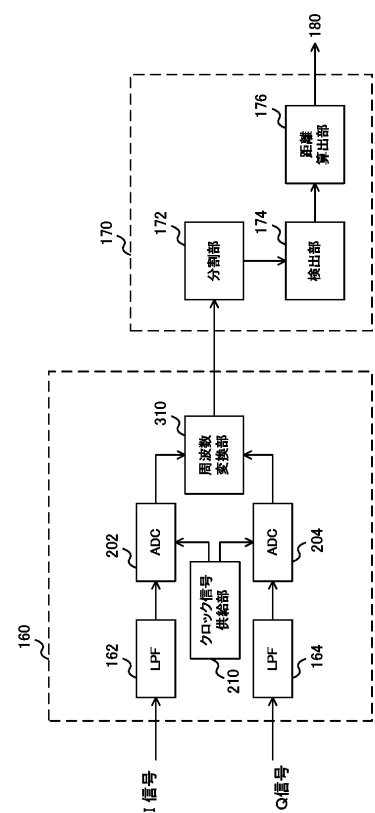
【図 6】



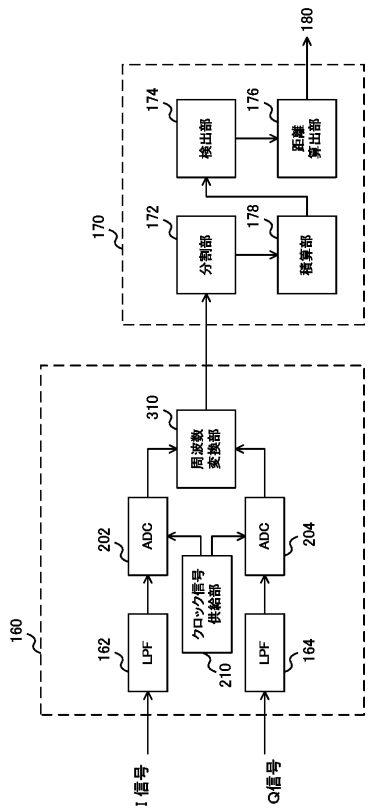
【図 7】



【図 8】



【図 9】



10

20

30

40

50

---

フロントページの続き

株式会社ミツトヨ内

(72)発明者 原 慎一

茨城県つくば市上横場 430 番地の1 株式会社ミツトヨ内

審査官 飯村 悠斗

(56)参考文献 特開2001-041706 (JP, A)

特開平10-082858 (JP, A)

特開2008-232833 (JP, A)

(58)調査した分野 (Int.Cl., DB名)

G01B 11/00 - 11/30

G01B 9/00 - 9/10

G01S 7/48 - 7/51

G01S 17/00 - 17/95